

### III-15 水平噴流による局所洗掘の実験

京都大学大学院 学生員 今村正孝

著者らは水平噴流による局所洗掘の際に生ずる渦に着目して洗掘機構の解明に努め、その一部を第6回の水理研究会において発表した。ここではその渦の特性に関する若干の実験結果とその考察について述べる。

洗掘実験の装置としては  $0.5 \times 2 \times 10m$  及び  $0.25 \times 0.7 \times 3m$  の大小2つの片面ガラス張りの実験水槽を用い、水たたきの長さ  $L$ 、噴出口の中Dを変えて実験を行なつてある。現在大水槽では平均粒径  $d_{50} = 0.055cm$ 、小水槽では  $d_{50} = 0.185cm$  の砂を用ひてある。実験方法はすべて写真撮影とし、一定時間間隔で自動的に撮影されるようになつてある。また渦の速度に関する実験は小水槽において、ほとんど比重が1の小えん済子を流し、その様子をストロボ装置を用いて写真撮影した。

図-1は洗掘形狀の模型図であるが、図に示すように、洗掘が進むにつれて一般に  $T_1$ 、  $T_2$ 、  $T_3$ なる3つの渦が発生する。この3つの渦のうち  $T_1$  が洗掘に最も大きな役割を果しているものと考えられるのでこの渦に着目して考察を進めることにする。図-2は下流水深  $h_0$ を一定とし、水たたき先端での流速  $U_0$ を変えてときの最大洗掘深  $Z_0$ の時間的变化を示したものである。洗掘深  $Z_0$ は時間とともに増加しているが、極めて初期はその勾配が急であることが分る。この状態での洗掘は主として渦の作用のほか流れの掃流力によって行なわれ、渦は楕円形をなし、勾配が緩やかになる附近から円形の渦になることが観察された。

図-3は洗掘深さと渦の中心の時間的变化を示した一例で、洗掘初期を除き、図の無次元量はほとんど一定値になる。また図-4は右の無次元量の流速による変化を示したもので、渦の中心のZ座標  $Z_W$ はほとんど一定値にあるが、X座標  $X_W$ は流速の増加に対しわずか減少する傾向を示している。図-5はストロボ装置によつて測定した渦の切線速度  $U_\theta$ と半径  $r$ との関係である。図中の表記は、中心から垂線と中心と砂堆の頂点を結んだ領域での流速を黒く塗り、そのうち円内は

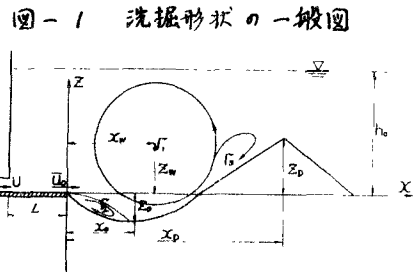


図-1 洗掘形狀の一概図

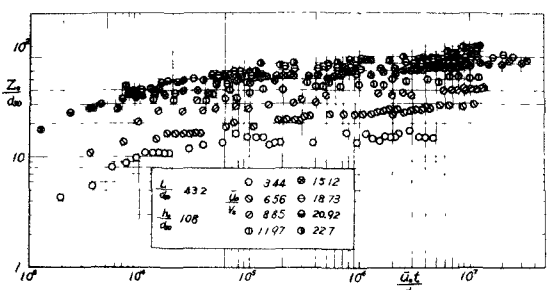


図-2 洗掘深さの時間的変化の数例

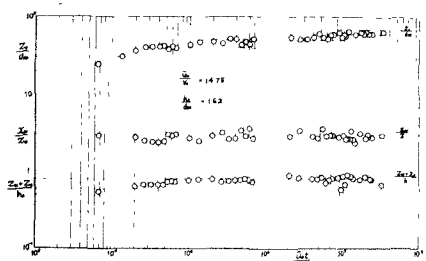
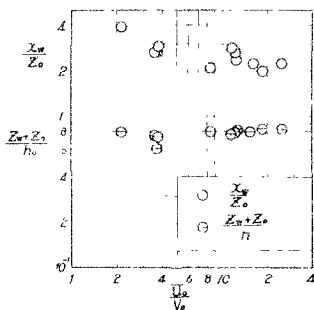


図-3 洗掘深さと渦の中心の時間的変化

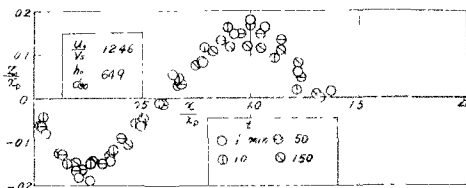
図-4 縦の中心の流速による変化



砂面附近，流速已不快。每

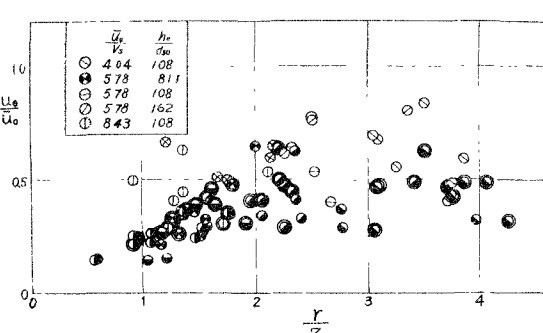
黒く塗っていなければ、ものは中心から外へ垂線を引いて、中心と水たまりとの差端を組んで領域での流速を示している。図一七は下流水深  $h_0$  を変化させた場合の最終最大洗掘深  $Z_{\text{d}}$  と  $Z_{\text{d}}$  の流速に対する変化を示したものである。 $h_0/d_{50}$  であらわされるパラメーターではある程度まとまりがけられるようである。 $Z_{\text{d}}$  は  $h_0$  の減少とともに減少するがある値になると、図一七(a)に示すように砂堆が平たくなり、周期性が現われる。これと堆の動性から考察すると、下流条件により堆と底との平衡が崩れることにより現われるようである。さらに  $h_0$  を下げると、洗掘形状は図一七(b)に示すようになると砂堆が存在しない形狀となり、周期性は現われなくなるが最終最大洗掘深  $Z_{\text{d}}$  は増加する傾向があるようである。

図-7(a) 珠體形状の黑白表示

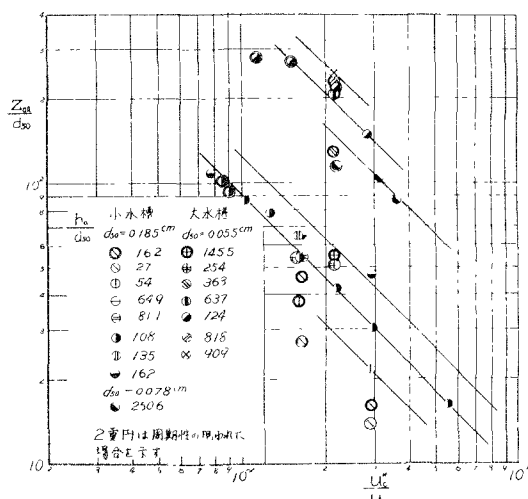


以上洗掘の進行にともなって発生発達する渦の特性に関する考察と結果について述べたが、こうした渦の特性と立脚による洗掘機構の解明に対する一つの試みについては講演時に述べるつもりである。最後に終始仰懇切丁寧指導をいたされた岩垣雄一および土屋義人両先生に謝意を表す次第である。

図-5 渦の切線速度に関する実験結果



(圖-6 最終洗掘深度，無次元表示)



図一ア(b) 滲掘形状の無次元表示

